

京都大学 工学部 正員 ○鈴木 幸一  
“ ” 学生員 河村 康

### 1. まえがき

河川構造物周辺の局所洗掘は、構造物側面における流速の増加に伴ない掃流力が増し、その結果としてある洗掘のほかに、特に前面における渦の作用による深掘れが特徴となっています。馬蹄形渦と呼ばれるこの渦は複雑な三次元現象であるためその特性は定量的にはほとんどわかっていない。本研究は、よどみ面内の渦による特に河床面付近の流速特性について実験的考察を加えたものである。

### 2. よどみ面内の渦による河床面付近の流速

図-1の記号を用いて、 $O-L$ に沿う河床( $Z=1mm$ )での流速 $U_m$ を実測した結果を図-2に示す。測定は外径 $2mm$ のしんちゅうパイプを用いて試作されたピト一管で行なった。横軸は円の中心からの距離 $x/D$ で無次元化しており、縦軸は上流断面での一様流の平均流速 $U_{0m}$ で無次元化して

いる。 $x/D = -0.5$ が内柱端であるが、ここから急激に $U_b$ は大きくなり、ほぼ $x/D = 0.6 \sim 0.7$ 附近でピークを持ち、以下ゆるやかに減少していく特性を示している。ピークの値はほぼ $U_b/U_{0m} = 0.5$ である。実験条件は図-2に示すとおりであるが、特に内柱径 $D$ とか水深 $h$ によつて $U_b$ の分布特性が変化するとは認められない。図-2で明らかなることは、渦による河床付近の流速は円柱から少し離れたところ( $0.1 \sim 0.2D$ )で最大となり、その値は一様流の平均流速のほぼ半分の大きさであり、河床面せん断応力がかなり大きいことが予想される。また $U_{bmax}$ の断面で河床面近くの流速の鉛直方向分布を示したのが図-3である。河床から水深の $0.1$ 倍位では河床で最大となる直線の流速分布をしていて、 $z/h_0 = 0.1$ 以上では最大流速のほぼ $1/2$ まで減少していく。 $z/h_0 > 0.1$ 以上で内柱径による差異が出てくるものと思われるが、 $0 < z/h_0 < 0.1$ ではそれによる著しい変化特性は認められない。

### 3. $U_{bmax}$ に関する考察

染料によるよどみ面内の剥離点の限界点 $L$ 、 $H$ (図-1参照)の観察によると、 $L$ 、 $H$ は図-4のように水理量にほとんど関係せず、内柱径が支配的因素であり、ほぼ $L = 0.65D$ 、 $H = 0.60D$ となることが認められたが<sup>1)</sup>、(1)式は単純な渦のスケールとして $L$ 、 $H$ 、 $O$ は内接する半径 $\lambda$ の内( $\lambda$ は $D$ のみの関数となる)を考え、

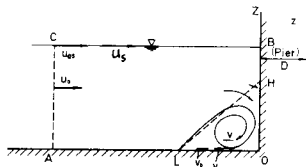


図-1 記号

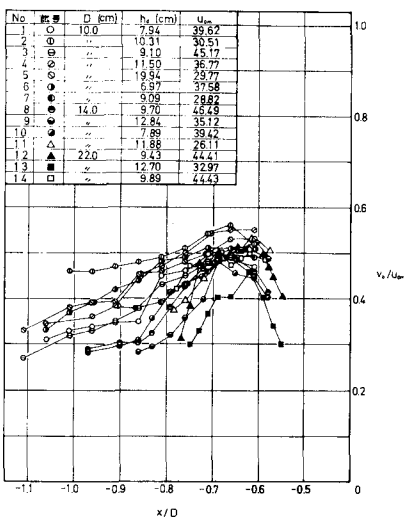


図-2 河床面流速分布

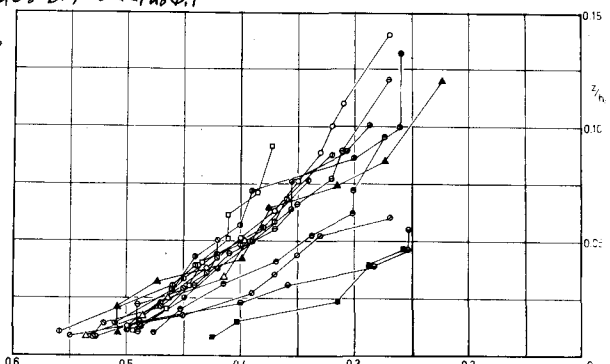


図-3 河床付近の流速の鉛直方向分布

3の外周での流速を  $U_{bmax}$  とすると、この渦のモーメントは、

$$P_1 = \oint U_{bmax} ds = -2\pi D U_{bmax} \quad (1)$$

となるが、よどみ面内における直徑  $D$  の円柱が存在するための循環の変化量は Shen<sup>2)</sup> が考へているように表面流速  $U_s$  とボテンシャル流速  $U_\infty$  とすると、図-1のABCに沿う流速の積分を考えると (AC断面は十分上流)、

$$P_2 = -\frac{D U_\infty}{2} \quad (2)$$

となる。  $P_1$  と  $P_2$  が等しいと考へられると、式(1)および(2)より、

$$U_{bmax} = \frac{D}{4\pi l} U_\infty \quad (3)$$

となるが、  $U_\infty$  と平均流速  $U_{om}$  の関係は  $U_{om} = \text{Manning's 平均流速式}$ 、速度分布に対数分布則を用いると、

$$U_\infty = U_{om} \left( 1 + \frac{n\sqrt{g}}{K h_o} \right) \quad (4)$$

となる。  $n$ : Manningの粗度係数、  $K$ : Karman定数、  $g$ : 重力加速度

$h_o$ : 一様流の水深 となり、  $L=0.65D$ ,  $H=0.60D$  とすれば、  $l=0.177D$  となる。式(3)は式(4)を用いて、

$$\frac{U_{bmax}}{U_{om}} = 0.450 \left( 1 + \frac{n\sqrt{g}}{K h_o} \right)^{-1} \quad (5)$$

となる。 $h_o^{1/2}/L$  は Chezy係数  $C$  であるが、式(5)は渦外縁の速度と一様流の平均流速との比は、Chezy係数  $C$  によることを意味していはず。通常  $C$  はあまり変化せず、変化しても 1 に対して  $n\sqrt{g}/Kh_o^{1/2}$  倍が小さいので、式(5)は  $U_{bmax}/U_{om}$  ほぼ一定ということを意味している。いまでの実験では  $C=60\sim80$  の範囲にあり、  $C=70$  とおけば  $U_{bmax}/U_{om}=0.500$  となる。この値が他の水理量や円柱径に支配されないかどうか知るために、たとえば機動ビアーレイノルズ数をとて  $U_{bmax}/U_{om}$  をプロットすると図-5のようにほぼモデルで考へた  $U_{bmax}/U_{om}=0.500$  に近い値となることが認められる。すなばく径の変化に対しても一定であることがわかる。したがって、渦のスケールが円柱径で決まるものとすれば、上のよう考へ方で  $U_{bmax}$  を推定する二通りである。

#### 4. あとがき

円柱前面の洗掘深は実験によると明らかに円柱径  $D$  に關係しており上に述べた  $U_{bmax}$  は  $D$  に關係しないといふ実験事実は一見矛盾しているように思えるが、図-2に示した分布形が似ていることから、  $U_b$  は  $D$  が大きいほど広い範囲にわたることを意味しており、  $U_{bmax}$  の大きさよりも近い  $U_b$  の及ぼす範囲が洗掘特性に影響を及ぼしていると思われる。こういう点および平均的な流速だけでなく不安定な渦の特性に対するわれに付加する変動項に注目して渦の洗掘力と河床の洗掘特性との關係についてさらに検討を加えなくてはならぬ。

- <参考文献>
- 鈴木他: 円柱前面における洗掘機構に関する研究, 第47回西支部講演会 II-28
  - Shen: Analytical approach to local scour, Proc. IAHR, Vol.3, 1967

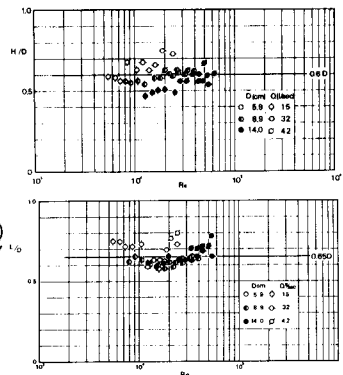


図-4 渦のスケール

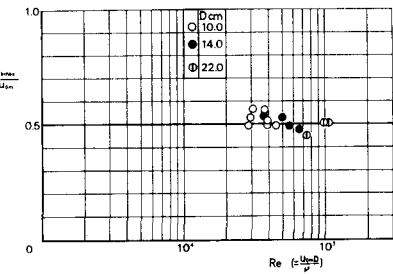


図-5  $U_{bmax}/U_{om} \sim Re$